УЛК 541.128.13:524.941.8'952:547.211:546.34'65

# КОБАЛЬТ-САМАРИЕВЫЕ КАТАЛИЗАТОРЫ УГЛЕКИСЛОТНОЙ КОНВЕРСИИ МЕТАНА: ЗАВИСИМОСТЬ ПОКАЗАТЕЛЕЙ ПРОЦЕССА ОТ СОДЕРЖАНИЯ КОБАЛЬТА

© 2024 г. А. Г. Дедов<sup>1, 2</sup>, А. С. Локтев<sup>1, 2, \*</sup>, М. А. Быков<sup>3</sup>, А. А. Садовников<sup>1</sup>, К. А. Чередниченко<sup>2</sup>, Г. А. Шандрюк<sup>1</sup>

<sup>1</sup>Институт нефтехимического синтеза им. А.В. Топчиева РАН, Москва, 119991 Россия 
<sup>2</sup>Российский государственный университет нефти и газа 
(Научно-исследовательский университет) имени И.М. Губкина, Москва, 119991 Россия 
<sup>3</sup>Московский государственный университет имени М.В. Ломоносова, химический факультет, 
Москва, 119991 Россия 
\*E-mail: al57@rambler.ru, genchem@gubkin.ru

Поступила в редакцию 7 августа 2024 г. После доработки 26 сентября 2024 г. Принята к публикации 11 ноября 2024 г.

Исследовано поведение в катализе углекислотной (УКМ) конверсии метана в синтез-газ кобальтсамариевых оксидных композитов, содержащих 0.5 и 1 мас.% кобальта. Показано, что использование оксидных композитов с содержанием кобальта менее 1 мас.% не приводит к получению стабильного катализатора УКМ, демонстрирующего количественные выходы синтез-газа. Содержание кобальта 1-2 мас.% является оптимальным и позволяет получать высокоэффективные, стабильные и не подверженные зауглероживанию катализаторы УКМ.

**Ключевые слова:** синтез-газ, углекислотная конверсия метана, кобальт-самариевые сложные оксиды

**DOI:** 10.31857/S0028242124040045, **EDN:** MVQKVY

Процесс углекислотной конверсии метана — УКМ (уравнение 1) широко исследуется в качестве подхода к утилизации парниковых газов —  $\mathrm{CH_4}$  и  $\mathrm{CO_2}$ , и к производству водородсодержащего газа (синтез-газа) из биогаза, являющегося возобновляемым видом сырья [1—14]:

$$CH_4 + CO_2 \leftrightarrow 2CO + 2H_2$$

$$\Delta H^0_{298} = +247 \text{ кДж/моль.}$$
 (1)

Реализация процесса УКМ осуществлена только в пилотном масштабе или в сочетании с процессами паровой и кислородной конверсии метана [14, 15], поскольку процесс является высокоэндотермичным, требующим активации стабильных молекул  $CO_2$  и  $CH_4$ .

Многие известные катализаторы УКМ, большинство которых содержат никель, характеризуются склонностью к закоксовыванию и "спеканию" активных центров. Большинство публикаций по процессу УКМ посвящено созданию катализаторов, не подверженных "спеканию" активных центров и формированию стабильных форм поверхностного углерода (графит, углеродные волокна и нанотрубки), блокирующих активные центры и прохождение реагентов через реактор [4–9, 13, 14]. При этом количество публикаций, описывающих кобальтовые катализаторы, не содержащие других переходных металлов, сравнительно невелико [2, 3, 5, 6, 8–13].

В то же время в публикациях [16, 17] мы сообщали о синтезе кобальт-самариевых оксидных

362 ДЕДОВ и др.

композитов – эффективных предшественников катализаторов получения водорода и монооксида углерода реакцией УКМ. Было установлено, что фазовый состав и устойчивость к зауглероживанию зависят от количества кобальта. введенного в состав прекатализаторов. Синтезированные образцы, содержавшие в матрице Sm<sub>2</sub>O<sub>3</sub> 2, 5 и 10% Со, при испытании при 900°С на протяжении 50 ч показывали близкие к количественным выходы СО и Н<sub>2</sub>. Однако было показано, что отработанные катализаторы содержали разное количество коксовых отложений. Наименее подверженным зауглероживанию оказался катализатор, содержавший наименьшее количество Со – 2 мас.%. Согласно данным термогравиметрического анализа, этот катализатор, после использования в УКМ, содержал 0.3 мас. % углерода, существенно меньшее, чем аналоги с более высоким содержанием Со. В связи с этим представляло интерес изучение влияния дальнейшего уменьшения содержания кобальта в этих материалах на их физико-химические свойства и каталитические свойства в реакции УКМ.

Цель данной работы — синтез и исследование в реакции УКМ катализаторов на основе кобальт-самариевых оксидных систем, содержащих малое количество кобальта — 0.5 и 1 мас.%.

## ЭКСПЕРИМЕНТАЛЬНАЯ ЧАСТЬ

Синтез исходных каталитических материалов проводили с использованием реагентов фирмы Sigma-Aldrich: самарий(III) нитрат гексагидрат (CAS 13759-83-6); кобальт(II) нитрат гексагидрат (CAS 10026-22-9) без дополнительной очистки.

Обозначения синтезированных материалов и массы реагентов, использованных для синтеза, приведены в табл. 1.

Массы реагентов соответствовали указанному в табл. 1 содержанию кобальта в полученном материале. Навески  $Co(NO_3)_2 \cdot 6H_2O$ 

и Sm(NO<sub>3</sub>)<sub>3</sub> • 6H<sub>2</sub>O растворяли в 30 мл дистиллированной воды при перемешивании в стеклянном стакане. Полученные растворы при перемешивании нагревали до испарения воды. Полученную массу переносили в алундовый тигель и нагревали в муфельной печи 3 ч при 300°С. Образовавшуюся твердую массу измельчали и нагревали в муфельной печи в течение 2.5 ч до 800°С, после чего выдерживали 2 ч при данной температуре.

Фазовый состав порошков полученных материалов исследовали методом рентгеновской дифрактометрии (РФА) на дифрактометре Rigaku MiniFlex 600 (Rigaku, Япония),  $CuK_{\alpha}$  излучение,  $\lambda = 1.54187$  Å. Обработку данных проводили с использованием базы данных International Center for Diffraction Data — ICDD.

Определение элементного состава выполняли методом атомно-эмиссионной спектрометрии с индукционно-связанной плазмой (АЭС ИСП) с использованием спектрометра ICPE-9000 (SHIMADZU, Япония). Образцы растворяли в смеси  $HNO_3$  (65—68 мас.%) и HCl (32—35 мас.%) в соотношении 1:3 по объему.

Термогравиметрический анализ (ТГА) отработанных катализаторов проводили на синхронном термогравиметрическом анализаторе TGA/DSC 3+ (Mettler Toledo, Швейцария) в потоке воздуха при скорости нагрева 10°/мин от 30 до 1000°С. Обработку данных ТГА выполняли с использованием программного обеспечения STARe Excellence.

Морфологию частиц катализаторов изучали методом растровой электронной микроскопии (РЭМ) на растровом электронном микроскопе Carl Zeiss NVision 40 при увеличении до 200000 ×. Использовали детекторы вторичных электронов (SE или InLens; ускоряющее напряжение 7 кВ) и обратно рассеянных электронов (ESB; ускоряющее напряжение 1 кВ).

**Таблица 1.** Шифр синтезированных материалов, массы реагентов, взятых для синтеза, и содержание кобальта в синтезированных образцах

| Шифр                                   | Co(NO <sub>3</sub> ) <sub>2</sub> •6H <sub>2</sub> O, г | Sm(NO <sub>3</sub> ) <sub>3</sub> •6H <sub>2</sub> O, г | Содержание Со*, мас.% |
|--|---|---|-----------------------|
| 1% Co/Sm <sub>2</sub> O <sub>3</sub>   | 0.247   | 12.616  | $0.5 \pm 0.1$         |
| 0.5% Co/Sm <sub>2</sub> O <sub>3</sub> | 0.124   | 12.679  | $0.9 \pm 0.1$         |

<sup>\*</sup> По данным АЭС ИСП

Для изучения микроструктуры и элементного состава отработанных катализаторов использован просвечивающий электронный микроскоп (ПЭМ) JEOL JEM-2100 UHR, работающий
при ускоряющем напряжении 200 кВ. Образцы порошков были диспергированы в этаноле,
а затем нанесены на медную сетку ТЕМ соорег
(Теd Pella, Inc.). Микрофотографии ПЭМ были
получены в режиме яркого поля с использованием 11-мегапиксельной ПЗС-камеры Olympus
Quemesa. Изображения образцов в темном поле,
а также элементное картирование были выполнены в режиме STEM.

Термопрограммированное восстановление (ТПВ) катализаторов водородом проводили на анализаторе хемосорбции УСГА-101/M3 (ООО "УНИСИТ", Россия). Навеску образца массой 0.1 г помещали в кварцевый реактор и прокаливали в токе аргона (скорость подачи -20 мл/мин) при температуре  $400^{\circ}$ С в течение 1 ч. Образец охлаждали до  $60^{\circ}$ С, замещали ток аргона на смесь 5%  $H_2 + 95\%$  Ar (скорость подачи -30 мл/мин) и нагревали образец со скоростью  $10^{\circ}$ С/мин. Поглощение водорода регистрировали детектором по теплопроводности.

Реакцию УКМ проводили в обогреваемом электропечью кварцевом реакторе проточного типа (внутренний диаметр 18 мм) с аксиально расположенным карманом для термопары диаметром 8 мм. Температуру реакции определяли хромель-алюмелевой термопарой (К-тип) диаметром 1 мм в бронированном чехле. Конец термопары помещали в центре слоя катализатора.

Каталитические материалы массой 0.2 г, фракция 0.5-1 мм, высота слоя 1 мм, помещали на подложку из кварцевого волокна и нагревали до 900°C в потоке азота (производство ООО "НИИ КМ", Россия; содержание азота 99.999%). После достижения 900°С подачу азота прекращали и подавали в реактор неразбавленную инертным газом смесь СН<sub>4</sub> с СО<sub>2</sub> (производство ОАО "Московский газоперерабатывающий завод", Россия; чистота газов не менее 99.9%). Соотношение  $CH_4/CO_2 = 1$ , скорость подачи газовой смеси 15-16 (л/г кат.)  $4^{-1}$ . Скорости газовых смесей на входе и выходе из реактора измеряли пенными расходомерами. При фиксированной температуре проводили анализ продуктов и приводили температуру к другим заданным значениям, не прекращая подачу реагентов. Изменение температуры в реакторе осуществляли с помощью программируемого регулятора температуры.

Анализ состава подаваемых газовых смесей и продуктов выполняли методом ГЖХ, с использованием хроматографов ГАЛС 311 ("Люмэкс", Россия). Газ-носитель — гелий, детектор по теплопроводности. Насадочную стальную колонку длиной 2 м и диаметром 5 мм с порапаком Q использовали для детектирования метана, СО<sub>2</sub>, этилена и этана, а также суммарного содержания водорода, кислорода, азота, СО. Температура анализа 70°С. Для детектирования водорода, кислорода, азота, использовали аналогичную колонку с цеолитом NaX при 30°С. Данные хроматографического анализа обрабатывали с использованием программно-аппаратного комплекса "ЭКОХРОМ" (Россия).

Конверсию метана (%)  $X(CH_4)$  рассчитывали по формуле:

$$X(CH_4) = (Win (CH_4) - Wout (CH_4)) \times 100\% / Win (CH_4),$$

где  $Win(CH_4)$  — количество (моль) поданного метана,  $Wout(CH_4)$  — количество (моль) метана на выходе из реактора.

Конверсию углекислого газа (%)  $X(CO_2)$  рассчитывали аналогичным образом.

Выход водорода (%)  $Y(H_2)$  рассчитывали по формуле:

$$Y(H_2) = (Wout H_2) \times 100\% / (2WinCH_4),$$

где  $WoutH_2$  — количество (моль) водорода на выходе из реактора,  $WinCH_4$  — количество (моль) поданного в реактор метана.

Выход СО (%) Y(СО) рассчитывали по формуле:

$$Y(CO) = (WoutCO) \times 100\% / (WinCH4 + WinCO2),$$

где WoutCO — количество (моль) CO на выходе из реактора, WinCH $_4$  и WinCO $_2$  — соответственно, количества (моль) поданных в реактор метана и углекислого газа.

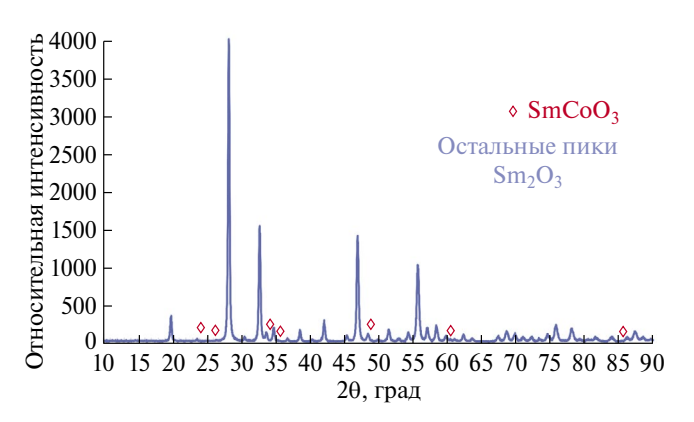
В специально проведенных холостых экспериментах наблюдали небольшое зауглероживание стенок реактора и кварцевого волокна.

В отходящих газах кроме непрореагировавших реагентов присутствовали следовые количества  ${\rm CO}$  и  ${\rm H}_2$ .

#### РЕЗУЛЬТАТЫ И ИХ ОБСУЖДЕНИЕ

Согласно данным рентгеновской дифрактометрии, синтезированный образец 1% Co/Sm<sub>2</sub>O<sub>3</sub> (рис. 1), содержит фазы Sm<sub>2</sub>O<sub>3</sub> (ICDD 96-101-0341) и SmCoO<sub>3</sub> (ICDD 96-412-4856). Дифрактограмма порошка 0.5% Co/Sm<sub>2</sub>O<sub>3</sub> содержит те же рефлексы, но рефлексы SmCoO<sub>3</sub> менее интенсивны. Описанные нами ранее [16, 17] аналогичные материалы с более высоким содержанием кобальта, помимо указанных, также содержали фазы Sm<sub>2</sub>CoO<sub>4</sub> и Co<sub>3</sub>O<sub>4</sub>.

Термопрограммированное восстановление водородом образца 1% Co/Sm<sub>2</sub>O<sub>3</sub> (рис. 2a) выявило наличие двух областей поглощения водорода. Широкий пик с максимумами при 434°C, вероятно, соотносим с восстановлением содер-



**Рис. 1.** Дифрактограмма порошка свежеприготовленного композита 1% Co/Sm<sub>2</sub>O<sub>3</sub>.

жащегося в катализаторе небольшого количества  $\text{Co}_3\text{O}_4$  [18], который не удалось зафиксировать на дифрактограмме. Интенсивный пик с максимумом при 552°C согласно [6, 19, 20] можно соотнести с восстановлением кобальтата самария по уравнению (2):

$$2\text{SmCoO}_3 + 3\text{H}_2 \rightarrow \text{Sm}_2\text{O}_3 + 2\text{Co} + 3\text{H}_2\text{O}$$
. (2)

Термопрограммированное восстановление 0.5% Co/Sm<sub>2</sub>O<sub>3</sub> (рис.  $2\delta$ ), показало наличие трех областей менее интенсивного поглощения водорода с максимумами при 430, 550 и 700°С. Первая область соотносима с восстановлением, вероятно, содержащегося в катализаторе небольшого количества Co<sub>3</sub>O<sub>4</sub> [18], который не удалось зафиксировать на дифрактограмме. Два последующих пика согласно [6, 19, 20] можно соотнести со стадийным восстановлением кобальтата самария по уравнениям (3, 4):

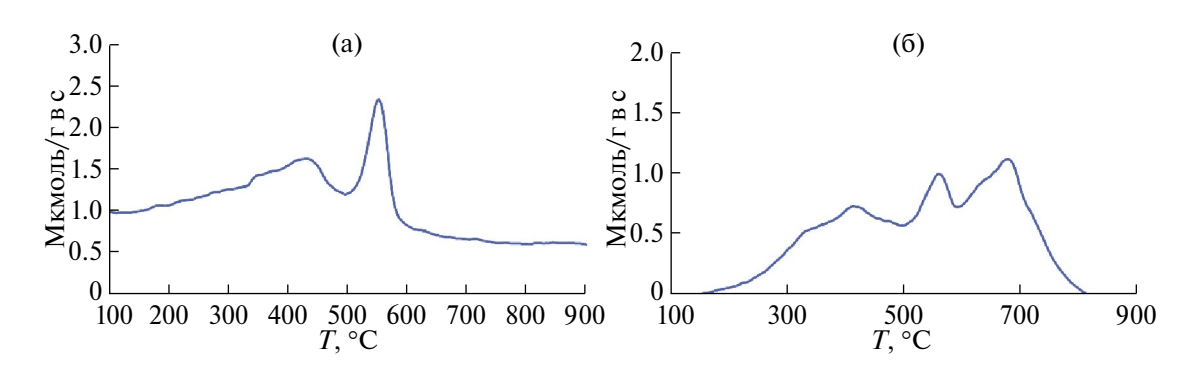
$$2\text{SmCoO}_3 + \text{H}_2 \rightarrow 2\text{SmCoO}_{25} + \text{H}_2\text{O},$$
 (3)

$$2\text{SmCoO}_{25} + 2\text{H}_2 \rightarrow \text{Sm}_2\text{O}_3 + 2\text{Co} + 2\text{H}_2\text{O}.$$
 (4)

Можно предположить, что при содержании кобальта в образце 0.5%, восстановление водородом кобальтата самария в значительной степени тормозится затрудненной диффузией водорода к ионам кобальта, диспергированным в матрице оксида самария.

## Результаты углекислотной конверсии метана

Первая серия экспериментов по УКМ на катализаторе 1% Со/Sm<sub>2</sub>O<sub>3</sub> была проведена в режиме варьирования температуры. Результаты приведены на рис. 3. В отличие от ранее испытанных катализаторов аналогичного состава



**Рис. 2.** Результаты термопрограммированного восстановления водородом свежеприготовленных 1% Co/Sm<sub>2</sub>O<sub>3</sub> (a) и 0.5% Co/Sm<sub>2</sub>O<sub>3</sub> (б).

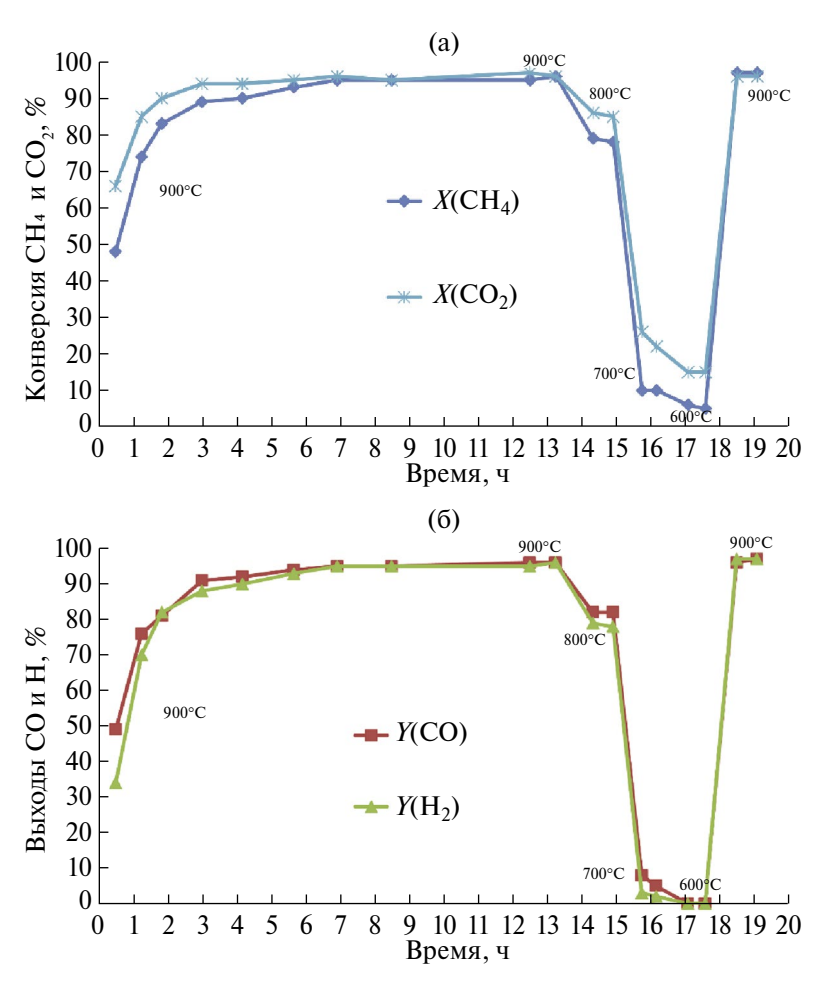
с более высоким содержанием кобальта [16], данный катализатор, разогретый в потоке высокочистого азота до  $900^{\circ}$ С, после подачи в реактор смеси  $CH_4$  и  $CO_2$  не показал высокого выхода синтез-газа. Через 0.5 ч после подачи реагентов конверсия  $CH_4$  составляла 48%, конверсия  $CO_2 - 66\%$ , выходы CO - 49%,  $H_2 - 34\%$ . Продолжение эксперимента при  $900^{\circ}$ С привело к улучшению показателей и через 3 ч были достигнуты конверсия  $CH_4 - 89\%$ , конверсия  $CO_2 - 94\%$ , выходы CO - 91%,  $H_2 - 88\%$  при соотношении  $CO: H_2 = 1.04$ . Несколько более высокий выход CO может быть связан с параллельным протеканием обратной реакции равновесия водяного газа (5):

$$H_2 + CO_2 \leftrightarrow CO + H_2O;$$
  
 $\Delta H^0_{209K} = +41 \text{ кДж/моль.}$  (5)

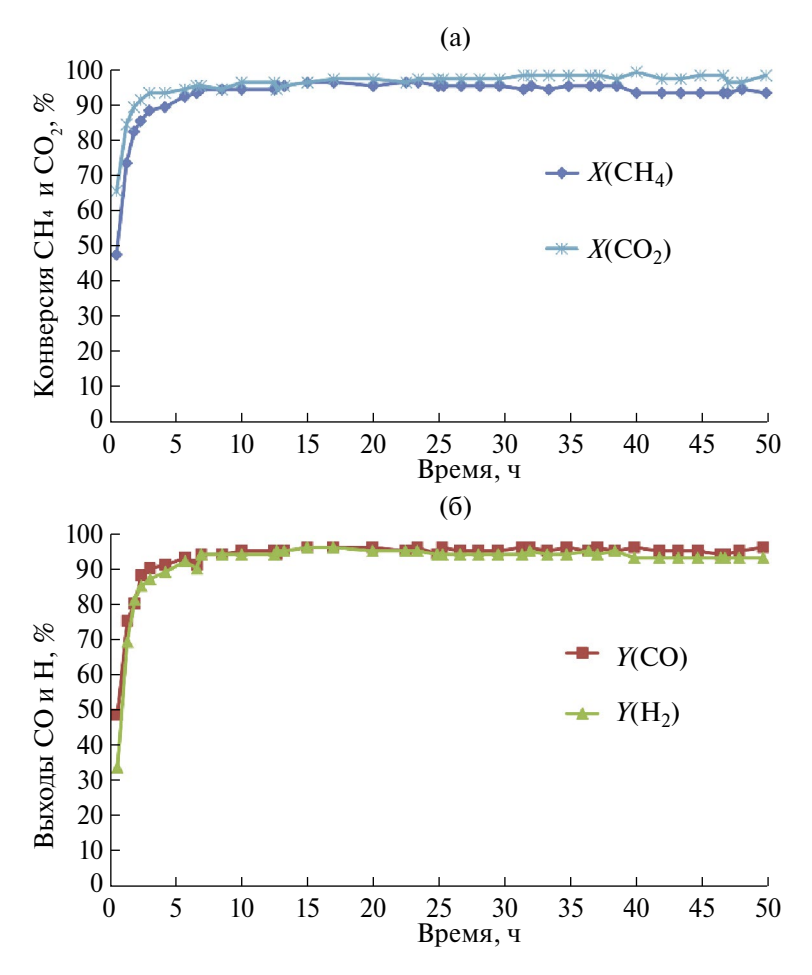
Через 14 ч проведения УКМ были достигнуты конверсия  $CH_4$  и  $CO_2-96\%$ , выходы CO и  $H_2$  также 96%, что соответствует 100%-ной селективности и соотношению  $CO: H_2=1$ .

После снижения температуры до  $800^{\circ}$ С наблюдались конверсия  $CH_4$  78-79%, конверсия  $CO_2-90-91\%$ , выходы CO-82%,  $H_2-78-79\%$ . То есть, при  $800^{\circ}$ С реакция УКМ протекала менее интенсивно и менее селективно. При 700 и  $600^{\circ}$ С эта реакция практически не протекала. Но последующее повышение температуры до  $900^{\circ}$ С восстановило эффективность катализатора: наблюдались одинаковые значения конверсии  $CH_4$  и  $CO_2$ , выходов CO и  $H_2$  96-97%.

При оптимальной температуре 900°C были проведены испытания катализатора на стабильность. Результаты показаны на рис. 4.



**Рис. 3.** Зависимость результатов УКМ (а, б) от температуры в присутствии катализатора 1% Co/Sm<sub>2</sub>O<sub>3</sub>: (а) конверсия CH<sub>4</sub> и CO<sub>2</sub>; (б) выходы CO и H<sub>2</sub>.



**Рис. 4.** Зависимость результатов УКМ (а, б) от продолжительности эксперимента в присутствии катализатора 1% Co/Sm<sub>2</sub>O<sub>3</sub> при 900°C: (а) конверсия CH<sup>4</sup> и CO<sup>2</sup>; (б) выходы CO и H<sub>2</sub>.

Катализатор в течение 7 ч увеличивал показатели процесса и далее на протяжении 50 ч демонстрировал стабильные значения конверсии  $\mathrm{CH_4}$  (94—97%), конверсии  $\mathrm{CO_2}$  (96—100%), выходов  $\mathrm{CO}$  (92—97%) и  $\mathrm{H_2}$  (94—97%. При этом также наблюдался несколько более высокий выход  $\mathrm{CO}$ , вероятно, связанный с незначительным протеканием обратной реакции равновесия водяного газа (5).

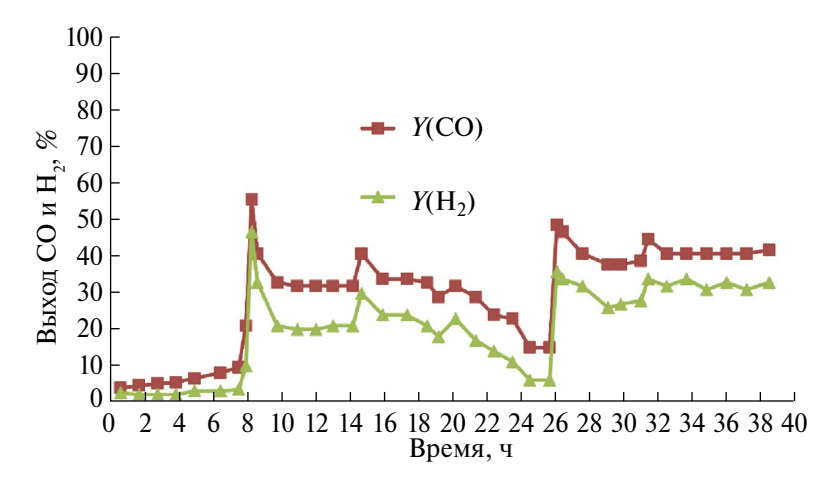
В аналогичных условиях были проведены испытания катализатора 0.5% Co/Sm<sub>2</sub>O<sub>3</sub>. Результаты показаны на рис. 5. Катализатор работал нестабильно и при 900°C так и не показал высоких выходов CO и  $\rm H_2$  на протяжении 39 ч. Выходы целевых продуктов периодически возрастали и снижались на протяжении испытаний и через 32 ч достигли сравнительно стабильных значений: выход CO 41–42%, выход  $\rm H_2$  31–33%. Полученные результаты показывают, что проведение

экспериментов на данном катализаторе при более низких температурах нецелесообразно.

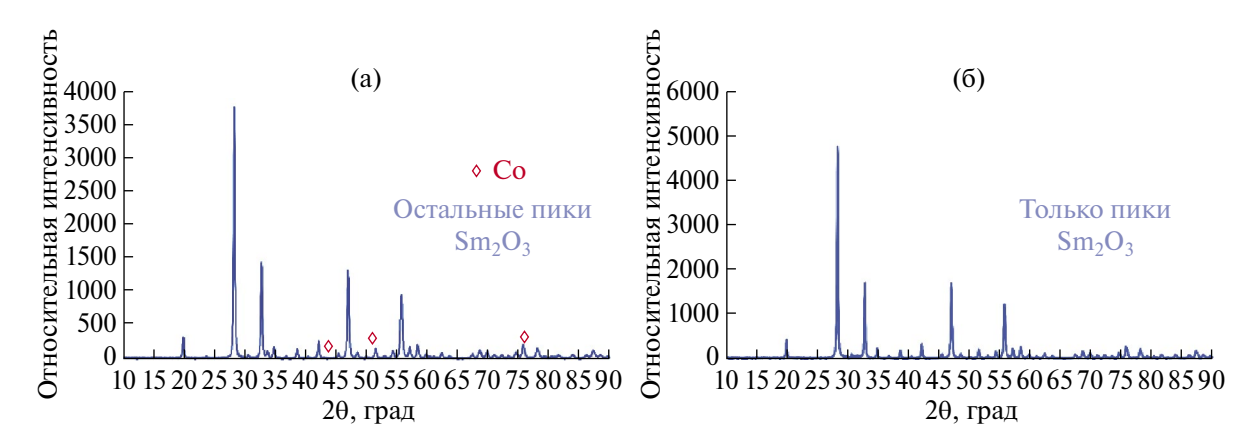
Дифрактограммы отработанных катализаторов приведены на рис. 6.

На дифрактограмме отработанного катализатора 1% Co/Sm<sub>2</sub>O<sub>3</sub> (рис. 6а) фиксируются интенсивные  $\mathrm{Sm_2O_3}$  (ICDD 96-901-5549) и малоинтенсивные пики металлического кобальта (ICDD 96-901-0969). Размер частиц кобальта по формуле Дебая—Шеррера в данном случае корректно оценить не удалось. Дифрактограмма отработанного 0.5% Co/Sm<sub>2</sub>O<sub>3</sub>, содержит только пики оксида самария. Отсутствие рефлексов кобальта и его соединений может быть связано как с малым количеством кобальта, так и с малыми размерами его частиц.

Данные ТГА отработанных катализаторов, приведенные на рис. 7а, б, показывают



**Рис. 5.** Зависимость выходов CO и  $H_2$  от продолжительности эксперимента в присутствии катализатора 0.5% Co/Sm<sub>2</sub>O<sub>3</sub> при 900°C.



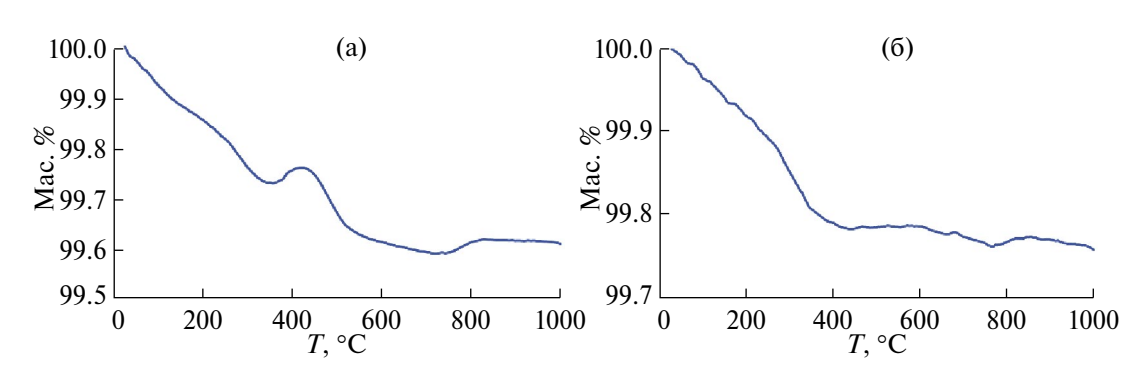
**Рис. 6.** Дифрактограммы порошков катализаторов: (a) 1% Co/Sm<sub>2</sub>O<sub>3</sub>; (б) 0.5% Co/Sm<sub>2</sub>O<sub>3</sub>, отработанных в реакции УКМ при  $900^{\circ}$ C.

незначительное изменение массы. В случае отработанного катализатора 1% Со/Sm<sub>2</sub>O<sub>3</sub> (рис. 7а), при нагреве до 350°С происходит уменьшение массы на 0.27%, вероятно, связанное с десорбцией воды и сорбированных газов. При 350–500°С фиксируется незначительное увеличение массы, видимо, обусловленное окислением металлического кобальта. При 500–720°С происходит уменьшение массы на 0.17%, которое можно связать как со сгоранием углеродистых отложений, так и с разложением стабильных карбонатов. Последующее незначительное увеличение массы можно объяснить образованием кобальтата самария по реакции (6):

$$4\text{Co}_3\text{O}_4 + \text{O}_2 + 6\text{Sm}_2\text{O}_3 \rightarrow 12\text{SmCoO}_3.$$
 (6)

ТГА отработанного катализатора 0.5% Co/Sm<sub>2</sub>O<sub>3</sub> (рис. 76), показывает, что при нагреве до  $400^{\circ}$ С фиксируется потеря массы 0.2%, видимо, обусловленная десорбцией газов и влаги. При более высоких температурах существенного изменения массы не происходит. Данные ТГА показывают, что оба катализатора практически не подверглись зауглероживанию. Отсутствие пика окисления металлического кобальта в случае отработанного 0.5% Co/Sm<sub>2</sub>O<sub>3</sub> указывает на крайне малое его содержание, что, вероятно, и объясняет низкую эффективность данного катализатора в УКМ.

Результаты ТГА, показавшие отсутствие зауглероживания отработанных катализаторов, согласуются с данными РЭМ. РЭМ-микрофотографии (рис. 8а, б) наглядно демонстрируют 368 ДЕДОВ и др.

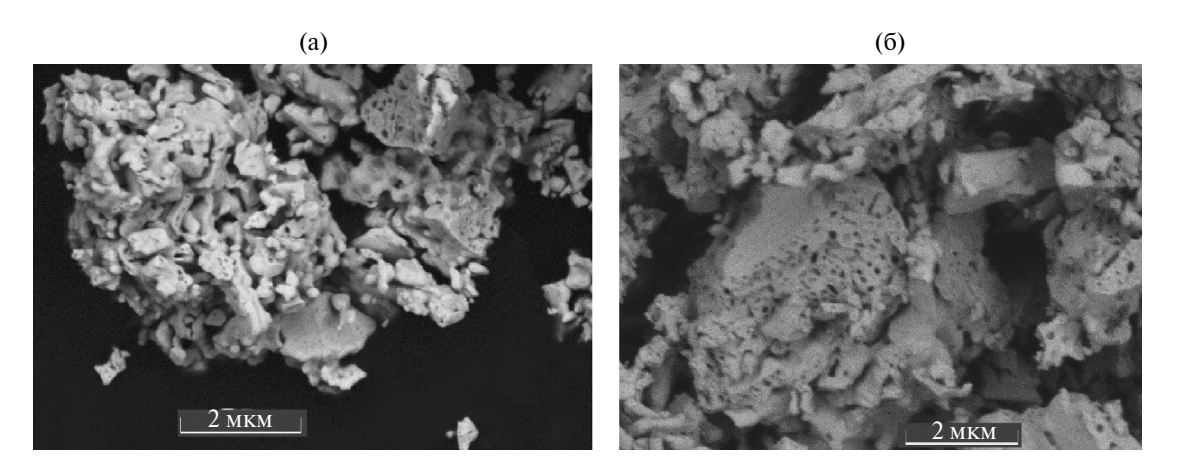


**Рис. 7.** Кривые изменения массы отработанных в УКМ катализаторов при нагреве в токе воздуха: (а) 1% Co/Sm<sub>2</sub>O<sub>3</sub>, (б) 0.5% Co/Sm<sub>2</sub>O<sub>3</sub>.

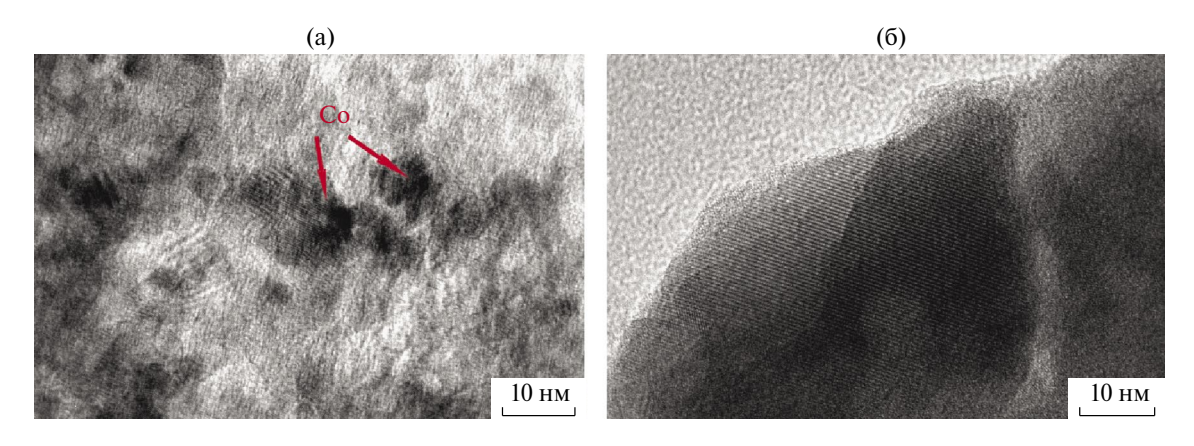
отсутствие углеродистых отложений на поверхности отработанных катализаторов.

Отработанные катализаторы были также исследованы методом ПЭМ. ПЭМ-микрофотогра-

фия отработанного катализатора 1% Co/Sm<sub>2</sub>O<sub>3</sub> (рис. 9a) демонстрирует образование наноразмерных металлических частиц. На ПЭМ-микрофотографии 0.5% Co/Sm<sub>2</sub>O<sub>3</sub> (рис. 96) металлические частицы зафиксировать не удалось.



**Рис. 8.** РЭМ-микрофотографии отработанных катализаторов: (a) 1% Co/Sm<sub>2</sub>O<sub>3</sub>; (б) 0.5% Co/Sm<sub>2</sub>O<sub>3</sub>.



**Рис. 9.** ПЭМ-микрофотографии отработанных катализаторов: (а) 1%Co/Sm<sub>2</sub>O<sub>3</sub>, (б) 0.5%Co/Sm<sub>2</sub>O<sub>3</sub>.

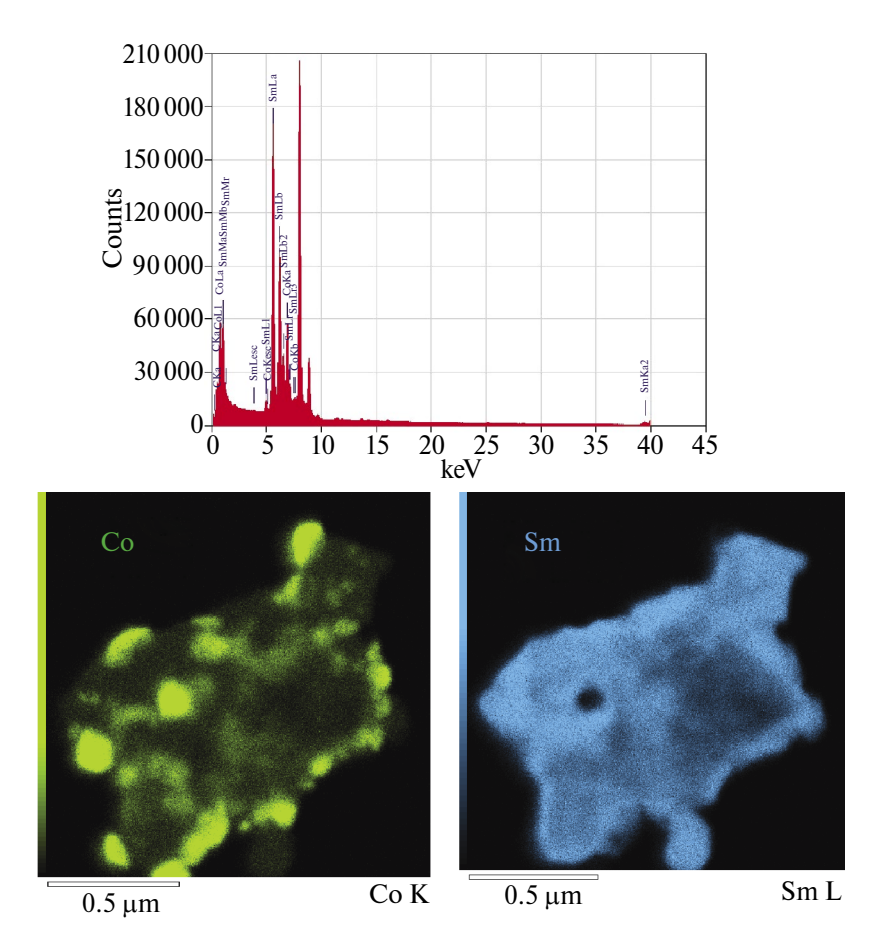
Рисунки 10 и 11 демонстрируют данные по элементному составу и элементному картированию распределения кобальта и самария в отработанных катализаторах. В случае катализатора 1%  $Co/Sm_2O_3$  (рис. 10), наблюдаются локальные максимумы концентрации кобальта, вероятно, в виде металлических частиц, катализирующих УКМ. В случае 0.5%  $Co/Sm_2O_3$  (рис. 11) атомы кобальта равномерно распределены в оксиде самария и не образуют заметного количества частиц, соотносимых с присутствием металлического кобальта. Это предположение согласуется с результатами  $T\Gamma A$ .

## ЗАКЛЮЧЕНИЕ

В результате проделанной работы показано, что материалы, полученные простым методом выпаривания водных растворов нитратов кобальта и самария с последующим прокаливанием, демонстрируют различную эффективность

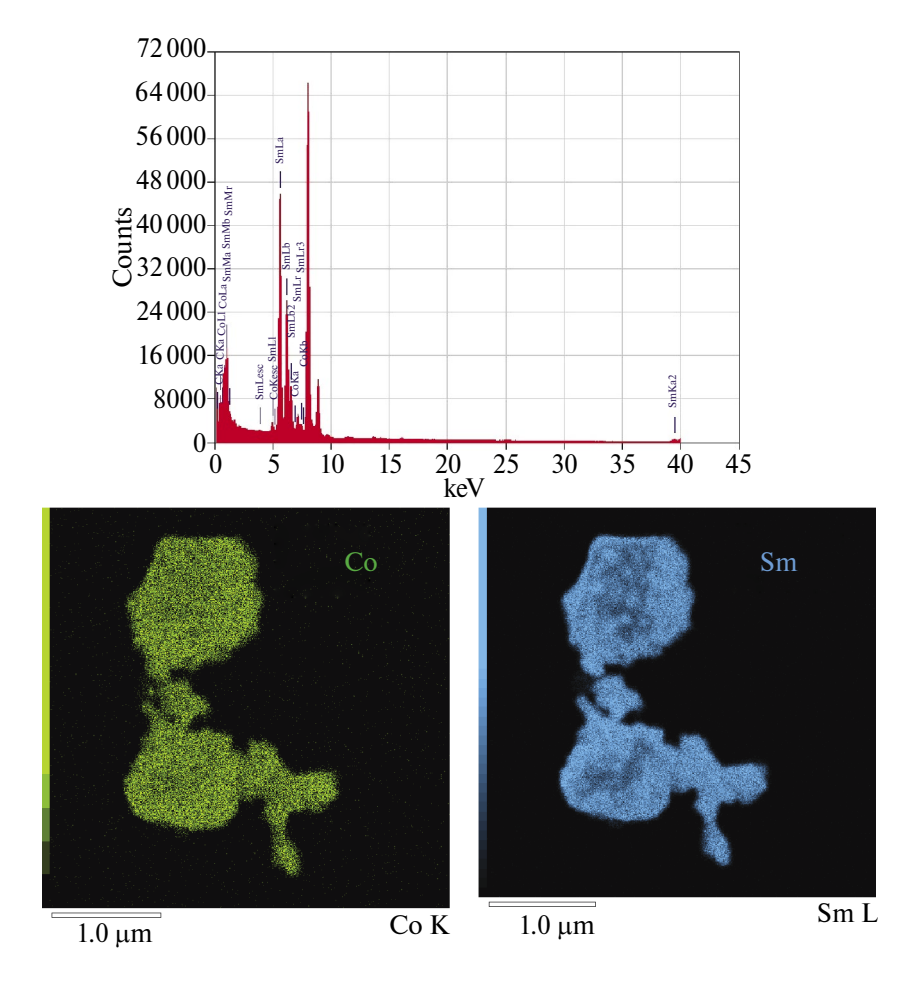
в катализе реакции УКМ в зависимости от содержания кобальта. Так, катализатор 0.5% Со/Sm<sub>2</sub>O<sub>3</sub> практически не подвергается зауглероживанию в процессе УКМ и характеризуется стабильным равномерным распределением атомов кобальта и самария в отработанном образце. Однако данный катализатор не показал высокой эффективности и стабильности в УКМ. Согласно ТГА, данный образец практически не содержит металлического кобальта.

Катализатор 1% Co/Sm<sub>2</sub>O<sub>3</sub> после индукционного периода проявил высокую селективность и стабильность в реакции УКМ и не подвергался зауглероживанию. После длительных испытаний в реакции УКМ катализатор характеризовался неравномерным распределением кобальта в матрице оксида самария, что может указывать на формирование активных в УКМ агрегатов металлических наноразмерных частиц. Образование металлического кобальта подтверждается



**Рис. 10.** Результаты ПЭМ-ЭДА отработанного катализатора 1% Co/Sm<sub>2</sub>O<sub>3</sub>: обзорный спектр элементов, картирование элементов

НЕФТЕХИМИЯ том 64 № 4 2024



**Рис. 11.** Результаты ПЭМ-ЭДА отработанного катализатора 0.5% Со/Sm<sub>2</sub>O<sub>3</sub>: обзорный спектр элементов, картирование элементов.

результатами ТГА. В отличие от ранее испытанного катализатора 2% Co/Sm<sub>2</sub>O<sub>3</sub> [16], данный катализатор, разогретый в потоке высокочистого азота до  $900^{\circ}$ C, после подачи в реактор смеси CH<sub>4</sub> и CO<sub>2</sub> не сразу показал высокий выход синтез-газа, но после выдержки в смеси реагентов демонстрировал столь же высокие показатели в УКМ.

Полученные результаты показывают, что использование в катализе УКМ кобальт-самариевых оксидных композитов с содержанием кобальта менее 1 мас. % не приводит к получению стабильного катализатора УКМ, демонстрирующего количественные выходы синтез-газа. Результаты проделанной работы и предшествующей публикации [16] позволяют утверждать, что содержание кобальта 1–2 мас. % в этих материалах является оптимальным и позволяет получать высокоэффективные, стабильные

и не подверженные зауглероживанию катализаторы УКМ. Разработанные катализаторы потенциально могут быть использованы не только в реакции УКМ, но и для получения "зеленого" водорода конверсией возобновляемого сырья — биогаза.

# БЛАГОДАРНОСТИ

Авторы выражают благодарность ЦКП ФМИ ИОНХ РАН за содействие в проведении исследований свойств катализаторов.

#### ФИНАНСИРОВАНИЕ РАБОТЫ

Работа выполнена при поддержке гранта РНФ № 23-13-00098 (синтез катализатора, каталитические эксперименты) и в рамках государственного задания ИНХС РАН (исследования методами РФА, РЭМ, ТГА, ТПВ, АЭС ИСП).

# КОНФЛИКТ ИНТЕРЕСОВ

Авторы заявляют об отсутствии конфликта интересов, требующего раскрытия в данной статье.

## ИНФОРМАЦИЯ ОБ АВТОРАХ

Дедов Алексей Георгиевич, д.х.н., академик РАН, зав. лаб. № 3 ИНХС РАН, зав. кафедрой общей и неорганической химии РГУ нефти и газа (НИУ) им. И.М. Губкина, ORCID: https://orcid.org/0000-0001-8086-2345

*Локтев Алексей Сергеевич*, д.х.н., проф., г.н.с. ИНХС РАН, ORCID: https://orcid.org/0000-0002-5841-8085

*Быков Михаил Арнольдович*, н.с. МГУ им. М.В. Ломоносова, химический факультет, ORCID: https://orcid.org/0000-0002-5000-9199

*Садовников Алексей Александрович*, м.н.с. ИНХС PAH, ORCID: https://orcid.org/0000-0002-3574-0039

*Чередниченко Кирилл Алексеевич, к.х.н.*, с.н.с. РГУ нефти и газа (НИУ) им. И.М. Губкина, ORCID: https://orcid.org/0000-0002-1868-8232

*Шандрюк Георгий Александрович*, с.н.с. ИНХС PAH, ORCID: https://orcid.org/0000-0003-4349-5296

## СПИСОК ЛИТЕРАТУРЫ

- 1. *Stenina I., Yaroslavtsev A.* Modern technologies of hydrogen production // Processes. 2023. V. 11. № 1. ID 56. https://doi.org/10.3390/pr11010056
- Chen L., Qi Z., Zhang S., Su J., Somorjai G.A. Catalytic hydrogen production from methane: a review on recent progress and prospect // Catalysts. 2020. V. 10. P. 858. https://doi.org/10.3390/catal10080858
- 3. Hussien A.G.S., Polychronopoulou K. A review on the different aspects and challenges of the dry reforming of methane (DRM) reaction // Nanomaterials. 2022. V. 12. P. .3400. https://doi.org/10.3390/nano12193400
- 4. *Salaev M.A., Liotta L.F., Vodyankina O.V.* Lanthanoid-containing Ni-based catalysts for dry reforming of methane: a review // Int. J. of Hydrogen Energy. 2022. V. 47. ID 4489–4535. https://doi.org/10.1016/j.ijhydene.2021.11.086
- 5. Ranjekar A.M., Yadav G.D. Dry reforming of methane for syngas production: a review and assessment

- of catalyst development and efficacy // J. of the Indian Chemical Soc. 2021. V. 98. Iss. 1. ID 100002. https://doi.org/10.1016/j.jics.2021.100002
- 6. Bhattar S., Abedin Md.A., Kanitkar S., Spivey J.J. A review on dry reforming of methane over perovskite derived catalysts // Catal. Today. 2021. V. 365. P. 2–23. https://doi.org/10.1016/j.cattod.2020.10.041
- 7. Jung S., Lee J., Moon D.H., Kim K.-H., Kwon E.E. Upgrading biogas into syngas through dry reforming // Renewable and Sustainable Energy Reviews. 2021. V. 143. ID 110949. https://doi.org/10.1016/j.rser.2021.110949
- 8. Li Z., Lin Q., Li M., Cao J., Liu F., Pan H., Wang Z., Kawi S. Recent advances in process and catalyst for CO<sub>2</sub> reforming of methane // Renewable and Sustainable Energy Reviews. 2020. V. 134. ID 110312. https://doi.org/10.1016/j.rser.2020.110312
- 9. Yentekakis I.V., Panagiotopoulou P., Artemakis G. A review of recent efforts to promote dry reforming of methane (DRM) to syngas production via bimetallic catalyst formulations // Applied Catalysis B: Environmental. 2021. V. 296. ID 120210. https://doi.org/10.1016/j.apcatb.2021.120210
- Wang C., Wang Y., Chen M., Liang D., Yang Z., Cheng W., Tang Z., Wang J., Zhang H. Recent advances during CH<sub>4</sub> dry reforming for syngas production: a mini review // Int. J. of Hydrogen Energy. 2021. V. 46. Iss. 7. P. 5852–5874. https://doi.org/10.1016/j.ijhydene.2020.10.240
- 11. *Gao Y., Jiang J., Meng Y., Yan F., Aihemaiti A.* A review of recent developments in hydrogen production via biogas dry reforming // Energy Conversion and Management. 2018. V. 171. P. 133–155. https://doi.org/10.1016/j.enconman.2018.05.083
- 12. *le Saché E., Reina T.R.* Analysis of dry reforming as direct route for gas phase CO<sub>2</sub> conversion. The past, the present and future of catalytic DRM technologies // Progress in Energy and Combustion Science. 2022. V. 89. I. ID 100970. https://doi.org/10.1016/j.pecs.2021.100970
- 13. *Guo S., Sun Y., Zhang Y., Zhang C., Li Y., Bai J.*Bimetallic nickel-cobalt catalysts and their application in dry reforming reaction of methane // Fuel. 2024. V. 358. Part B. ID 130290. https://doi.org/10.1016/j.fuel.2023.130290
- Cai Y., Zhang Y., Zhang X., Wang Y., Zhao Y., Li G., Zhang G. Recent advances in Ni-based catalysts for CH<sub>4</sub>-CO<sub>2</sub> reforming (2013–2023) // Atmosphere. 2023. V. 14. ID 1323. https://doi.org/10.3390/atmos14091323
- 15. *Mortensen P.M., Dybkjær I.* Industrial scale experience on steam reforming of CO<sub>2</sub>-rich gas // Applied Catalysis A: General. 2015. V. 495. P. 141–151. https://doi.org/10.1016/j.apcata.2015.02.022

372 ДЕДОВ и др.

16. Dedov A.G., Loktev A.S., Arkhipova, V.A., Bykov, M.A., Sadovnikov A.A., Cherednichenko K.A., Shandryuk G.A. A new approach to the preparation of stable oxide-composite cobalt—samarium catalysts for the production of hydrogen by dry reforming of methane // Processes. 2023. V. 11. Iss 8. 2296. https://doi.org/10.3390/pr11082296

- 17. Локтев А.С., Архипова В.А., Быков М.А., Садовников А.А., Дедов А.Г. Кобальт-самариевый оксидный композит новый эффективный катализатор кислородной и углекислотной конверсии метана в синтез-газ // Нефтехимия. 2023. Т. 63. № 1. С. 88—99.
  - https://doi.org/10.31857/S0028242123010082
  - [Loktev A.S., Arkhipova V.A., Bykov M.A., Sadovnikov A.A., Dedov A.G. Cobalt-samarium oxide composite as a novel high-performance catalyst for partial oxidation and dry reforming of methane

- into synthesis gas // Petrol. Chemistry. 2023. V. 63. P. 317–326. https://doi.org/10.1134/S0965544123010048].
- 18. *Olusola J.O., Sudip M.* Temperature programme reduction (TPR) studies of cobalt phases in γ-alumina supported cobalt catalysts // J. of Petrol. Technol. and Alternative Fuels. 2016. V. 7. P. 1–12. https://doi.org/10.5897/JPTAF2015.0122
- 19. *Osazuwa O.U., Cheng C.K.* Catalytic conversion of methane and carbon dioxide (greenhouse gases) into syngas over samarium-cobalt-trioxides perovskite catalyst // J. of Cleaner Production. 2017. V. 148. P. 202–211. https://doi.org/10.1016/j.jclepro.2017.01.177
- 20. *Ma F.*, *Chen Y.*, *Lou H.* Characterization of perovskite-type oxide catalysts RECoO<sub>3</sub> by TPR // React. Kinet. Catal. Lett. 1986. V. 31. P. 47–53.